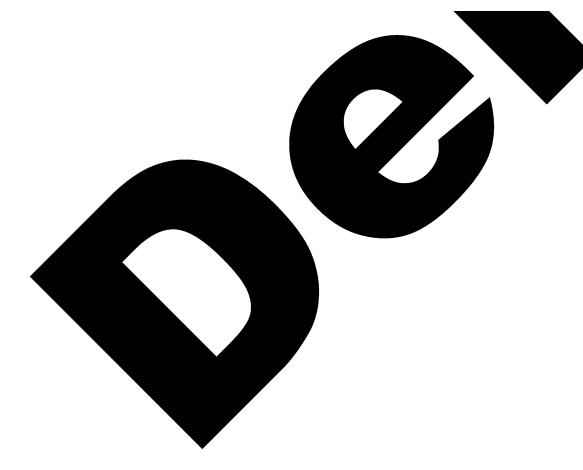
Approved For Release STAT 2009/08/19 :

CIA-RDP88-00904R000100120



Approved For Release 2009/08/19 :

CIA-RDP88-00904R000100120



Вторая Международная конференция Срганизации Объединенных Наций по примечению атомной энергии в мирных целях

A/CONF/15/P2189 USSR ORIGINAL: RUSSIAN

Не подлежит оглашению до официального сообщения на Конференции

РАСПРОСТРАНЕНИЕ НЕИТРОНОВ В ГЕТЕРОГЕННОЙ СРЕДЕ

Н.И.Лалетин

I. Ра пространение нейтронов в непоглощающей гетерогенной среде

Пусть в бесконечном пространстве имеется периодическая решетка, выполненная из стержней цилиндрической формы (круговые цилиндры, плоские слои и т.д.). Остальное пространство заполнено веществом, отличным от вещества стержней. Будем называть его замедлителем. Если характеризовать среду макросечением взаимодействия нейтронов с веществом $\sum (\tau, \theta, \phi)$, то будут иметь место следующие соотношения: $\sum (\tau, \theta, \phi) = \sum (\tau, \pi - \theta, \psi)$, $\sum (\bar{\tau}) = \sum (\bar{\tau} + \bar{\alpha})$. Здесь угол θ отсчитывается от оси, параллельной образующим цилиндров. Макросечение $\sum (\tau, \theta, \phi)$ в стержнях обозначим через \sum_2 и в замедлителе через \sum_4 Будем считать, что поглощение в среде отсутствует. Распределение нейтронов в непоглощающей среде будет описываться решением уравнения Пайерлса в виде:

$$\Phi(\bar{\tau}_{o}) = \begin{cases} \frac{\sum (\bar{\tau})\Phi(\bar{\tau}) e^{\int_{\bar{\tau}_{o}}^{\bar{\tau}} \sum (\tau') d\tau'} \frac{d\bar{\tau}}{d\bar{\tau}} \\ \frac{4 \bar{\tau} |\bar{\tau} - \bar{\tau}_{o}|^{2}} \end{cases}$$
(1)

(рассеяние считаем сферически симметричным в обеих средах).

а) Диффузия нейтронов в направлении, параллельном цилиндрам

Поместим бесконечный плоский источник в плоскости $\mathcal{Z}=-\infty$ 25 YEAR RE-REVIEW

Решением уравнения (I) в этом случае будет функция $\Phi(x) = \Phi_0 + 2\pi \left(\frac{d\Phi}{dx}\right)_0$, где Φ_0 и $\left(\frac{d\Phi}{dx}\right)$ где ф и $\frac{\partial}{\partial x} \left(\frac{\partial \Phi}{\partial x} \right)_{0}$ постоянные. Действительно, $\frac{\sum (\tau) e^{-i\sum (\tau') d\tau' \sqrt{1\tau}}}{|\psi_{1}| ||\tau| ||\tau||^{2}} = 1$

а значения (S(t) ze-)S(v)dr'dr интеграла взятого по нижнему и по верхнему полупространству, в силу условия $\geq (\theta) = \geq (\pi - \theta)$, отличаются только по знаку. Нечетные степени 🕱 более высоких порядков должны онть откинуты, так как решение уравнения (I) должно состоять из постоянного члена и члена, в любой точке среды, что возможно антисимметри чного по $\not\supseteq$ лишь при линейной зависимости решения от 🗵. Легко показать такне зависит от координат x и же, что функция Ф(2)

Ток нейтронов через элементарную площадку dS с нормалью,

Ток неитронов через элементарную площадку
$$C_{\mathcal{F}}$$
 с нормаль параллельной оси \mathcal{Z} равен $-\int_{\bar{\tau}_{\bullet}}^{\bar{\tau}} \Sigma(\tau') d\tau' \frac{d\tau}{d\tau} dS = \int \frac{\Sigma(\bar{\tau}) + (\bar{\tau}) \cos \theta e^{-\int_{\bar{\tau}_{\bullet}}^{\bar{\tau}_{\bullet}} \Sigma(\tau') d\tau'}{4 \sin \theta \cos^2 \theta} d\theta \int_{\sigma}^{\infty} \gamma \sum (\bar{\tau} + \bar{\tau}_{\bullet}) e^{-\int_{\sigma}^{\bar{\tau}_{\bullet}} \Sigma(\tau') d\tau'} d\tau dS$. (2)

Эта величина зависит от положения d\$ в ячейке решетки. Усредняя ток по поперечному сечению ячейки, получим

$$\overline{I} = \left(\frac{d\Phi}{d\alpha}\right), \int_{S_{34}} \frac{dS}{S_{34}} \int_{\Omega} \frac{d\Omega \cos^2\theta}{49i} \int_{0}^{\infty} \sum (\overline{\tau} + \overline{\tau}_0) \tau e^{-\int_{0}^{+\overline{\tau}_0} \sum (\tau') d\tau'} d\tau$$

 S_{aq} -площадь поперечного сечения ячейки. Величину $D_{u} = \overline{I} / \left(\frac{d \Leftrightarrow D}{d \varkappa}\right)_{o}$ назов назовем эффективным коэффициентом диффузии для направления, параллельного оси симметрии среды. Порядок интегрирования по углам и по площади ячейки можем, очевидно, поменять местами. Тогда

$$\begin{split} D_{\text{H}} &= \int_{\Omega} \frac{d\Omega}{4\pi} \cos^2\theta \cdot I\left(\theta, \phi\right) \qquad (3) \,, \qquad \qquad \text{где} \\ \hline \textbf{#}) \underbrace{\left(\frac{\sum(\tau)e^{-\sum(\tau)d\tau'}d\tau}{4\pi|\tau-\tau_0|^2} + \frac{d\Omega}{2\sqrt{4\pi}} \int_{0}^{\omega} d\tau \sum (\tilde{\tau})e^{-\frac{1}{2}} \sum \frac{d\Omega}{4\pi} \int_{0}^{\omega} \left(\frac{1}{2}\right) \cdot \dots + \int_{0}^{\alpha_1+\alpha_2} \frac{\alpha_1+\alpha_2}{2\sqrt{4\pi}} \cdot \dots + \right], \\ \text{где} \quad \alpha_1, \alpha_2, \alpha_3 \quad \text{и т.д.-последовательные отрезки, которые луч} \\ \text{проходит в первой среде, во второй, снова в первой и т.д.Замечая, что } \underbrace{\sum_{i=1}^{\omega} e^{-\sum_{i=1}^{\omega} d\tau_i - \sum_{i=2}^{\omega} (t-\alpha_1)} d\tau_i = e^{-\sum_{i=1}^{\omega} \alpha_1} \left(1 - e^{-\sum_{i=2}^{\omega} \alpha_2}\right)}_{\text{U т.д.видим, что } \underbrace{\sum_{i=1}^{\omega} e^{-\sum_{i=1}^{\omega} \alpha_1 - \sum_{i=2}^{\omega} (t-\alpha_1)} d\tau_i = e^{-\sum_{i=1}^{\omega} \alpha_1} \left(1 - e^{-\sum_{i=2}^{\omega} \alpha_2}\right)}_{\text{U т.д.видим, что } \underbrace{\sum_{i=1}^{\omega} e^{-\sum_{i=1}^{\omega} \alpha_1 - \sum_{i=2}^{\omega} (t-\alpha_1)} d\tau_i = e^{-\sum_{i=1}^{\omega} \alpha_1} \left(1 - e^{-\sum_{i=2}^{\omega} \alpha_2}\right)}_{\text{U т.д.видим, что } \underbrace{\sum_{i=1}^{\omega} e^{-\sum_{i=1}^{\omega} \alpha_1 - \sum_{i=2}^{\omega} (t-\alpha_1)} d\tau_i = e^{-\sum_{i=1}^{\omega} \alpha_1} \left(1 - e^{-\sum_{i=2}^{\omega} \alpha_2}\right)}_{\text{U т.д.видим, что } \underbrace{\sum_{i=1}^{\omega} e^{-\sum_{i=1}^{\omega} \alpha_1 - \sum_{i=2}^{\omega} (t-\alpha_1)} d\tau_i = e^{-\sum_{i=1}^{\omega} \alpha_1} \left(1 - e^{-\sum_{i=2}^{\omega} \alpha_2}\right)}_{\text{U т.д.видим, что } \underbrace{\sum_{i=1}^{\omega} e^{-\sum_{i=1}^{\omega} \alpha_1 - \sum_{i=2}^{\omega} (t-\alpha_1)}_{\text{U t.g.s.e.}}}_{\text{U t.g.s.e.}} \underbrace{\underbrace{\sum_{i=1}^{\omega} e^{-\sum_{i=1}^{\omega} \alpha_1 - \sum_{i=2}^{\omega} \alpha_1} (t-e^{-\sum_{i=2}^{\omega} \alpha_2})}_{\text{U t.g.s.e.}}}_{\text{U t.g.s.e.}}$$

$$I(\theta, \psi) = \int_{S_{qq}} \frac{dS}{S_{qq}} \int_{0}^{\infty} \tau \sum_{r} (\bar{\tau} + \bar{\tau}_{o}) e^{-\int_{0}^{r} \sum_{r} (\tau') d\tau'} d\tau$$
(4)

б) Диффузия нейтронов в направлении, перпендикулярном цилиндрам

Поместим плоский бесконечный источник в плоскости $-\infty = -\infty$. Решение уравнения (1) в этом случае естественно представить в виде $\phi(\bar{\tau}) = \phi_o + \left(\frac{d\phi}{dx}\right)_o + \Delta \phi(x,y)$. ϕ_o и $\left(\frac{d\phi}{dx}\right)_o$ —посто ные. Первые два члена решения описывают усредненное по ячейке распределение потока нейтронов в среде, а третий распределение внутри ячейки. Очевидно, что функция $\Delta \Phi(x,y)$ должна быть периодической по координстам x и y , т.е. $\Delta \Phi(x,y) = \Delta \Phi(x+Q_{x_1}y)$ и $\Delta \Phi(x,y) = \Delta \Phi(x,y+Q_y)$, где Q_x и Q_y -параметры решетки, соответственно, по осям х и

Будем считать, что форма цилиндров такова, что в каждой ячейке имеется хотя бы одна ось симметрии, относительно которой справедливо утверждение $\sum (\tau, \theta, \varphi) = \sum (\tau, \theta, \varphi + \Im)$. уравнения (I) легко заметить, что если начало координат поместить на ось симметрии ячейки, то $\Delta \Phi(x,y)$ должна быть нечетной функцией по ∞ , т.е.

$$\Delta \Phi(x,y) = -\Delta \Phi(-x,y)$$
.

При $\left(\frac{d\Phi}{dx}\right)_o = 0$ функция $\Delta\Phi(x,y)$, очевидно, ооращается в нуль. При $\left(\frac{d\Phi}{dx}\right)_o \neq 0$ мы можем разделить правую и левую части уравнения (5) на $\left(\frac{d\Phi}{dx}\right)_o$ и, введя ооозначение $\Phi(x,y) = \frac{\Delta\Phi(x,y)}{\left(\frac{d\Phi}{dx}\right)_o}$, получим уравнение: $\Phi(x,y) = \frac{\left(\frac{d\Phi}{dx}\right)_o}{\left(\frac{d\Phi}{dx}\right)_o}, \qquad \frac{\sqrt{x}}{\sqrt{x}} = \frac{x}{\sqrt{x}} = \frac{\sqrt{x}}{\sqrt{x}} = \frac{x}{\sqrt{x}} = \frac{x}{\sqrt{x}} = \frac{x}{\sqrt{x}} = \frac{x}{\sqrt{x}} = \frac{x}{\sqrt{x}}$

$$\psi(x_{o},y_{o})=\int \frac{|\varphi(x,y)\Xi(\bar{\tau})e^{-\frac{\bar{\tau}}{\bar{\tau}_{o}}}|\chi')dx'}{4\pi|\bar{\tau}_{o}-\bar{\tau}_{o}|^{2}}+\int \frac{(x-x_{o})\Xi(\bar{\tau})e^{-\frac{\bar{\tau}_{o}}{\bar{\tau}_{o}}}|\chi')dx'}{4\pi|\bar{\tau}_{o}-\bar{\tau}_{o}|^{2}}$$

Из последнего уравнения видим, что функция $\phi(x,y)$ зависи от хода усредненного потока. Поэтому общее решение уравнения (I) можем написать в виде:

$$\Phi(\bar{\tau}) = \Phi_0 + \left(\frac{d\Phi}{dx}\right)_0 x \left[1 + \frac{\varphi(x,y)}{x}\right].$$

Выражение для тока нейтронов через элементарную площадку ${
m d} {\cal S}$

с нормалью параллельной оси
$$\mathfrak{X}_{\overline{\imath}}$$
 будет иметь вид:
$$IdS = \int \frac{\sum (\overline{\imath}) \Phi(\overline{\imath}) \sin\theta \cos\phi}{4\pi i |\overline{\imath} - \overline{\imath}_o|^2} dS =$$

$$= \left\{ \int_{\Omega} \frac{d\Omega \sin\theta \cos\phi}{4\pi i} \int_{\overline{\imath}_o}^{\infty} \sum (\overline{\imath}) \Phi_o e^{-\int_{\overline{\imath}_o}^{\overline{\imath}} \sum (\tau') d\tau'} d\tau + \right.$$

$$\left. + \int_{\Omega} \frac{d\Omega \sin^2\theta \cos^2\phi}{4\pi i |\overline{\imath}|} \int_{0}^{\infty} \chi \sum (\overline{\imath}_o + \overline{\imath}_o) e^{-\int_{0}^{\overline{\imath}_o} \sum (\tau') d\tau'} \left[1 + \frac{\varphi(x + x_o, y + y_o)}{x + x_o} \right] d\tau \left(\frac{d\Phi}{dx} \right)_{0} \right\} dS.$$

Первый интеграл в фигурных скобках обращается в ноль из-за интегрирования по углу и (интеграл по фт равен І, см.примечание на стр. 2).

Усредняя (6) по поперечному сечению ячейки, получим

$$\bar{l} = \left(\frac{d\Phi}{dx}\right)_{o} \int_{S_{ay}} \frac{dS}{S_{ay}} \int_{\Omega} \frac{d\Omega \sin^{2}\theta \cos^{2}\psi}{4SI} \int_{\Omega}^{\infty} r \sum (\bar{\tau} + \bar{\tau}_{o}) e^{-\frac{1}{2}r\bar{\tau}_{o}} \sum (r') dr' - \frac{\psi(x + x_{o}, y + y_{o})}{x + x_{o}} dr.$$

Величина

$$D_{x} = \overline{I} / \left(\frac{d\phi}{dx} \right)_{x}$$

играет роль эффективного коэффициента диффузии в направлении оси Ж.

Перепишем выражение для
$$D_x$$
 в виде:
$$D_x = \int_{\Omega} \frac{d\Omega \sin^2\theta \cos^2\phi}{4\pi} \left[I(\theta, \phi) + I_1(\theta, \phi) \right]. \tag{7}$$

- определяется формулой (4), а Здесь $I(\theta, \phi)$

$$I_{1}(\theta, \phi) = \int_{S_{34}} \frac{dS}{S_{34}} \int_{0}^{\infty} r \sum_{i} (\bar{\tau} + \bar{\tau}_{o}) \frac{\phi(x + x_{o}, y + y_{o})}{x + x_{o}} e^{-\int_{0}^{\tau + \tau_{o}}} \sum_{i} (\tau') d\tau'$$
(8)

II. Вычисление коэффициентов диффузии для гетерогенной непоглощающей среды

А) Продольная диффузия

Вычислим коэффициент диффузии нейтронов в направлении оси симметрии. Согласно формулам (3) и (4), имеем_

$$D_{ij} = \int \frac{d\Omega}{4\pi i} \cos^2\theta \cdot I(\theta, \varphi); \quad I(\theta, \varphi) = \int_{S_{all}} \frac{dS}{S_{all}} \int_{0}^{\infty} \frac{1}{|\nabla x|^2} \left(|\nabla x|^2 + |\nabla x|^2 \right) dx' dx$$

Сменив порядок интегрирования в последнем выражении, рассмотрим интеграл по поперечному сечению ячейки. Область интегрирования разобьем на части по следующему признаку. Пусть мы имеем вектор, конец которого может перемещаться по рассматриваемому поперечному сечению, величина равна $\mathcal C$ и направление задается углами θ и ϕ Поперечное сечение ячейки разобьем на поперечное сечение замедлителя δ и поперечное сечение стержня $\delta_{\rm c_T}$. Поперечное сечение замедлителя, в свою очередь, разобьем на следующие части: I) Площадка S_1 такая, что векторы, опирающиеся на нее, не пересекают стержней. 2) Площадка S_2 . Векторы, опирающиеся на нее, начинаются в замедлителе и пересекают стержни. Отрезок вектора, лежащий в стержнях, обозначим через X. 3) Площадка S_3 . Векторы, опирающиеся на нее, начинаются в стержнях. Отрезок вектора, лежащий в стержнях, обозначим через Y.

Поперечное сечение стержня разобьем на площадку \mathring{S}_4 такую, что векторы, опирающиеся на нее, начинаются в замедлителе и отрезок вектора в стержнях равен \mathring{y} , площадку \mathring{S}_5 , на которую опираются векторы, целиком укладывающиеся в одном стержне, и площадку

 S_6 . Векторы, опирающиеся на последнюю, начинаются в других стержнях. Отрезок вектора, лежащий в стержнях равен Q.

Мнтеграл
$$I(\theta, \phi)$$
 запишется теперь следующим образом:
$$I(\theta, \phi) = \int_{0}^{\infty} d\tau \int_{S_{1}} \frac{dS}{S_{34}} \left\{ \sum_{1} \tau e^{-\sum_{1} \tau} \right\} + \int_{0}^{\infty} d\tau \int_{S_{2}} \frac{dS}{S_{34}} \left\{ \sum_{1} \tau e^{-\sum_{1} (\tau - y) - \sum_{2} y} \right\} + \int_{0}^{\infty} d\tau \int_{S_{3}} \frac{dS}{S_{34}} \left\{ \sum_{1} \tau e^{-\sum_{1} (\tau - y) - \sum_{2} y} \right\} + \int_{0}^{\infty} d\tau \int_{S_{3}} \frac{dS}{S_{34}} \left\{ \sum_{1} \tau e^{-\sum_{1} (\tau - y) - \sum_{2} y} \right\} + \int_{0}^{\infty} d\tau \int_{S_{3}} \frac{dS}{S_{34}} \left\{ \sum_{2} \tau e^{-\sum_{2} \tau} \right\} + \int_{0}^{\infty} d\tau \int_{S_{3}} \frac{dS}{S_{34}} \left\{ \sum_{2} \tau e^{-\sum_{1} (\tau - y) - \sum_{2} y} \right\}.$$

$$(9)$$

Величины $S_1 \div S_6$ легко определить в том случае, когда вектор с длиной, равной средней длине свободного пробега нейтрона в замедлителе, пересекает не больше одного стержня, т.е. $L/\sum_1 x < 1$. Здесь L — периметр кривой, ограничивающей поперечное сечение стержня.

Заметим, что с каждым элементом длины dL кривой, ограничивающей поперечное сечение стержня, можно связать величину $\psi(x,\psi)dX$, которая представляет собой отрезок прямой, обладающей следующим свойством. Вектор $\bar{\tau}(\theta,\phi)$, нормальный к этому отрезку, может иметь максимальную длину в стержне от X до X+dX. Тогда площадки $S_1\div S_6$ выразятся следующим образом:

1)
$$S_1 = s \left[1 - \frac{\pi}{s} \int_{0}^{\infty} \psi(x, \psi) \sin \theta dX \right];$$

2) $S_2 = \int_{0}^{\infty} \psi(X, \psi) \sin \theta(x - X) dX;$ $dS = \psi(X, \psi) \sin \theta(x - X);$
3) $S_3 = \int_{0}^{\infty} \psi(X, \psi) \sin \theta dX \int_{0}^{x} dy;$ $dS = \psi(x, \psi) \sin \theta dX dy;$
4) $S_4 = \int_{0}^{\infty} \psi(x, \psi) \sin \theta dX \int_{0}^{x} dy;$ $dS = \psi(x, \psi) \sin \theta dX dy;$
5) $S_5 = \int_{0}^{\infty} \psi(x, \psi) \sin \theta(x - x) dx;$ $dS = \psi(x, \psi) \sin \theta(x - x) dX;$
6) $S_5 = 0.$

Пользуясь соотношениями (IO) и выполняя необходимые операции в формуле (9), получим:

$$I(\theta, \varphi) = \frac{1}{\Xi_{1}(1+\rho)} + \frac{\rho}{\Xi_{2}(1+\rho)} - \left(\frac{1}{\Xi_{1}} - \frac{1}{\Xi_{2}}\right)^{2} \frac{G_{o}(\theta, \varphi) - G(\theta, \varphi, \Xi_{2} R)}{S_{94}}.$$
(11)

R - характерный размер стержия; $p = \frac{3_{cT}}{3}.$

Отсюда для D_{44} получаем выражение:

$$D_{\parallel} = \frac{\lambda_{cp}}{3} \left\{ 1 - \frac{3\overline{\sigma}}{\lambda_{cp} S_{a4}} \left(\frac{1}{\Sigma_{1}} - \frac{1}{\Sigma_{2}} \right)^{2} \left[1 - F(\Sigma_{2} R) \right] \right\}. \tag{12}$$

Здесь

$$\lambda_{cp} = \frac{1}{\sum_{i}(1+p)} + \frac{p}{\sum_{i}(1+p)}$$
, $\overline{\sigma} = \int_{\Omega} \frac{d\Omega}{49i} \cos^{2}\theta \, \overline{\sigma}_{o}(\theta, \psi)$,

$$F(t) = \frac{1}{5} \int_{\Omega} \frac{d\Omega}{45} \cos^2 \theta \cdot \sigma(\theta, \phi, t).$$

Для случая стержней в виде бесконечных плоских слоев толщины h_2 , величины $\overline{6}$ и $F(\sum_2 h_2)$ приобретают следующие значения:

$$G(\theta, \varphi, t) = \frac{L}{2} \sin \theta \cos \varphi e^{-\frac{t}{\sin \theta \cdot \cos \varphi}}, \quad \overline{G} = \frac{L}{16};$$

$$F(t) = t^4 E_5(-t) - t^2 E_3(-t)$$
, $E_n(-t) = \int_{\infty}^{t} \frac{e^{-y} dy}{y^n}$. (13)

Для стержней в виде круглых цилиндров радиуса R соответствующие величины будут такими: $-\frac{2tu}{2t}$

$$\sigma(\theta, \varphi, t) = \frac{L}{\Im} \sinh \int_{0}^{1} du \frac{u e^{\frac{3 \ln \theta}{3 \ln \theta}}}{\sqrt{1 - u^{2}}}, \quad \overline{\sigma} = \frac{L}{16}; \quad (14)$$

$$F(t) = \frac{4}{91} \int dv \int_{0}^{1} du \frac{u \sqrt{v^{2}-1} e^{-2tuv}}{v^{5} \sqrt{1-u^{2}}}, \quad (t = \sum_{z} R).$$

2921-103

Заметим, что при $\frac{\lambda_1 - \lambda_2}{\alpha} \to 0$ (а — параметр решетки) коэффициент диффузии $D_{\parallel} \to \frac{\lambda_{\text{ср}}}{3}$, т.е. к результату, который получается при использовании предположения о справедливости ооычного уравнения диффузии и в "замедлителе" и в стержнях (см. 2,3).

Для плоских стержней результат легко получить и в общем случае (оез выполнения условия $L/\sum .5 \ll 1$). Это сделано в работе /2/.

Для стержней произвольной формы интеграл $I(\theta,\phi)$ легко вичислить в другом крайнем случае: тесно расположенных, тонких стержней. Тогда вектор, равный по величине средней длине свободного пробега нейтрона в замедлителе, может пересечь большое количество стержней. Кроме того, можно считать, что вероятность пересечь один стержень в этом случае не зависит от вероятностей пересечь другие стержни.

Для определения величин $S_4 \div S_6$ ваметим, что имеются следующие возможности:

I. Вектор, величины τ и с направлением (θ, ϕ) не пересекает стержней. Вероятность этогс равна

$$\frac{5}{5_{94}}e^{-\frac{5}{5}}=\frac{5_1}{5_{94}}$$

II. Вектор начинается в замедлителе, пересекает n стержней и кончается в замедлителе. Обозначим x-X=p и $x_1,x_2,...,x_n$ отрезки вектора в стержнях ($x=\sum_{j=1}^n X_j$). Вероятность такого события будет тогда записываться в виде:

$$e^{-\frac{\beta G_0}{3}} \prod_{j=1}^{n} \frac{\beta \psi(x_i, \varphi) \sin \theta}{3} \frac{dx_j}{n!} \frac{3}{S_{34}}.$$

Ш. Вектор начинается в стержне, пересекает, кроме того, еще "12-1 "стержень и кончается в замедлителе. Вероятность этого равна

$$e^{-\frac{\rho G_{s}}{5}n} \frac{\rho \psi(X_{j}, \phi) \sin \theta}{5} \frac{dX_{j}}{(n-1)!} \frac{\psi(x_{n}, \phi) \sin \theta dy}{S_{sy}}$$

(y меняется от 0 до X_n).

и кончается в " стержне. Вероятность такая же, как и в пре-

дыдущем случае.

V. Вектор целиком укладывается в одном стержне

$$S_{5} = \int_{0}^{\infty} \psi(x, \varphi) \sin \theta(x-r) dx; \quad dS = \psi(x, \varphi)(x-r) \sin \theta dx.$$

VI. Вектор начинается в стержне, пересекает еще "n-2" стержня и кончается в "и" стержне. Вероятность будет иметь следующий вид:

$$e^{-\frac{\rho\sigma}{5} \cdot \frac{n}{j-1}} \frac{\rho\psi(x_j, \varphi) \sin\theta}{5} \cdot \frac{dx_j}{(n-2)!} \cdot \frac{\psi(x_{n-1}, \varphi) \sin\theta dy_1}{5} \cdot \frac{\psi(x_n, \varphi) \sin\theta dy_n}{5}$$

 V_1 меняется от 0 до \mathfrak{X}_{n-1} , а V_n от 0 до \mathfrak{X}_n . Учитывая все вышеизложенное, можем записать интеграл $\bar{I}(\theta,\phi)$

СЛЕДУЮЩИМ ООРАЗОМ:
$$I(\theta, \psi) = \int_{0}^{\infty} d\tau e^{-\sum_{i} \tau_{i} - \frac{\tau_{i} G_{0}}{V}} \sum_{i} \tau_{i} \frac{\delta}{\beta_{34}} + \int_{0}^{\infty} dx \frac{\psi(x, \theta, \psi)}{\beta_{34}} \int_{0}^{\infty} (x - \tau) \tau_{i} e^{-\sum_{i} \tau_{i}} \sum_{j=1}^{n} \frac{\gamma_{i} \psi(x_{j}, \theta, \psi)}{\delta_{i}} \frac{dx_{j}}{n!} + \frac{\sum_{n=1}^{\infty} \int_{0}^{\infty} d\rho \sum_{i} \frac{\delta}{\beta_{34}} e^{-\frac{\gamma_{i} G_{0}}{V}} \sum_{i=1}^{n} \gamma_{i} \int_{j=1}^{n} \frac{\gamma_{i} \psi(x_{j}, \theta, \psi)}{\delta_{i} \int_{j=1}^{n} \frac{\gamma_{i} \psi(x_{j}, \psi)}{\delta_{i} \int_{j=1}^{n}$$

Выполнив все необходимые операции, получим

$$\underline{I}(\theta, \mathbf{p}) = \lambda_{cp} - \left(\frac{1}{\sum_{1}^{2}} - \frac{1}{\sum_{2}^{2}}\right)^{2} \frac{\sigma_{o} - \sigma}{S_{A4}\left(1 + \frac{\sigma_{o} - \sigma}{\sum_{1}^{2} \sigma}\right)}$$
(15)

В пределе для очень тонких стержней $\Im \simeq \Im - \Im _2 \uparrow \Im ,$ и, следовательно, $I(\theta,\phi) \simeq \frac{1}{\sum_{c_p}}; \left(\sum_{c_p} = \frac{\sum_1 + p \sum_2}{1+p}\right)$. Эффективный коэффициент диффузии $D_{i} = \int_{\mathbf{A}} \underbrace{I(\theta,\phi) \cos^2 \theta}_{q \Im - q \Im$

смеси этих же компонент.

Поперечная диффузия

Коэффициент диффузии нейтронов в направлении, перпендику-лярном оси симметрии, дается формулами (7) и (8). Величина $I(\theta, \phi)$ определяется в предыдущем параграфе и поэтому с той частью коэффициента диффузии, в которую входит $I(\theta, \phi)$, затруднений не возникает. Другая часть коэффициента диффузии с $I_1(\theta, \phi)$ получается от учета микроструктуры потока нейтронов. Ее вычисление гораздо сложнее.

Пля плоских стержней $D_{1}' = \int_{\Omega} \sin^{2}\theta \cos^{2}\phi \, I(\theta, \phi) \, \frac{\sin\theta d\theta d\phi}{4\pi} = \frac{\lambda_{cp}}{3} \left\{ 1 - \frac{3\overline{G}_{1}}{\lambda_{cp}S_{34}} \left(\frac{1}{\sum_{1}} - \frac{1}{\sum_{2}} \right) \left[1 - F_{1}(\sum_{1}h_{1}, \sum_{2}h_{2}) \right] \right\},$ $\overline{G}_{1} = \int_{\Omega} G_{0}(\theta, \phi) \sin^{2}\theta \cos^{2}\phi \, \frac{d\Omega}{4\pi} = \frac{L}{8} \quad \mathbb{E} F_{1}(x_{1}, x_{2}) = 2 \int_{0}^{L} u^{3} \, \frac{e^{-\frac{x_{2}}{u}} + e^{-\frac{x_{2}}{u}} - 2e^{-\frac{x_{1} + x_{2}}{u}}}{1 - e^{-\frac{x_{1} + x_{2}}{u}}} \, du,$ (16)

$$D_{\perp}'' = \int \frac{d\Omega}{4\Omega_1} \sin^2\theta \cos^2\phi I_1(\theta,\phi)$$
 можно оценить в случае $\Sigma_1 h_1 \gg 1$ и $\Sigma_2 h_2 \gg 1$.

Тогда внутри каждого слоя можно применять уравнение диффузии и легко определить функцию $\psi(x)$.

$$\emptyset (x) = \left(\frac{\sum_{c_p} (x)}{\sum_{c_p} - 1}\right) \left(x - i \frac{h_1 + h_2}{2}\right). \tag{17}$$

Здесь $\sum_{cp} = \frac{\sum_{i} h_{i} + \sum_{2} h_{2}}{h_{i} + h_{2}}$; і - номер слоя (см. рисунок).

Тогда
$$D_1'' = \int_{\Omega} \frac{d\Omega}{45i} \sin \theta \cos \phi \int_{S_{24}} \frac{dS}{S_{24}} \int_{0}^{\infty} \sum_{r} (\bar{\tau}) \phi(r) e^{-\int \sum_{r} (\tau') d\tau'} d\tau = \frac{1}{3 \sum_{s=0}^{r}} D_1'$$

и, следовательно,
$$D_{\perp} = D_{\perp}' + D_{\perp}'' = \frac{1}{3 \sum_{SD}'}$$
 (18)

Покажем, что этот результат будет справедлив при явбой толщине слоев. Действительно, описывая распределение потока в среде функцией

$$\Phi(x) = \Psi_0 + \left(\frac{d\Psi}{dx}\right)_0 \left[\frac{\sum(\bar{\tau})}{\sum_{cp}} x - i \frac{h_1 + h_2}{2} \left(\frac{\sum(\bar{\tau})}{\sum_{cp}} - 1\right)\right]$$
(19)

$$-\frac{1}{6\Sigma_{cp}} \left(\frac{d\psi}{dx}\right)_{0} \cdot (20) \quad I = \int_{\frac{\pi}{2}}^{57} d\theta' \dots = \frac{\psi_{o} + \left(\frac{d\psi}{dx}\right)_{o} x_{o} \frac{\Sigma_{1}}{\Sigma_{cp}}}{4} \cdot \frac{1}{6\Sigma_{cp}} \left(\frac{d\psi}{dx}\right)_{o}$$

(θ' -угол радиус-вектора с осью ∞). Результирующий поток $I = I_+ - I_- = -\frac{1}{3\sum_{cp}} \left(\frac{d\psi}{dx}\right)_o$ и не зависит от положения площадки в ячейке.

Теперь если бн $\psi(x)$ была несколько другой антисимметричной относительно центра пластины функцией (например, изображалась бы кривой 2 на рысунке), то ток через площадку dS_1 , расположенную у левой границы пластины, получился бы меньше значения $\frac{1}{3\sum_{ce}} \left(\frac{d\psi}{dx}\right)_o$, а через площадку dS_2 больше этой величины, т.е. ток был бы непостоянен по толщине пластины, чего не должно быть, так как поглощение отсутствует. Следовательно, функция $\psi(x)$, определяемая выражением (19), является точным решением кинетического уравнения для гетерогенной среды без поглощения, и полученное значение коэффициента диффузии $D_1 = \frac{1}{3\sum_{ce}}$ справедливо для любых толщин пластин.

Для случая круглых цилиндрических стержней при выполнении условия $L/\sum_1 5 << 1$ получим

$$D_{\perp}' = \int \frac{d\Omega}{4\pi} \sin^2\theta \cos^2\varphi I(\theta, \varphi) = \frac{\lambda_{cp}}{3} \left\{ 1 - \frac{3\overline{\Theta}_{\perp}}{\lambda_{cp} S_{.94}} \left(\frac{1}{\Sigma_{\perp}} - \frac{1}{\Sigma_{\perp}} \right)^2 \left[1 - F_{\perp}'(\Sigma_{\perp} R) \right] \right\}$$

где

$$\vec{G}_{1} = \frac{L}{g} = \frac{51R}{4} + F_{1}(x) = \frac{4}{51} \int_{1}^{\infty} dv \int_{1}^{1} du \frac{u e^{-2xuv}}{v^{2}\sqrt{1-u^{2}}\sqrt{v^{2}-1}}.$$
 (21)

2921-103

Величину D_{\perp}^{u} оценить трудно даже с функцией $\phi(x,y)$, полученной при применении уравнения диомузии в каждой среде.

В предельном случае тонких, тесно расположенных стержней, вклад члена D''_{\perp} в коэффициент диффузии для перпендикулярного направления должен, очевидно, падать, и D_{\perp} стремится в этом случае к D'_{\perp} . Замечая при этом, что $D'_{\perp} = \int_{\mathbb{S}^2} I(\theta,\phi) \sin^2\theta \cos^2\phi \frac{d\Omega}{497} = \frac{1}{3\sum_{c}\rho}$, видим, что для тонких, тесно расположенных стержней, коэффициент диффузии стремится к значению, которое он имел обы для гомогенной смеси. Таким образом, исчезает анизотропия среды по отношению к распространению нейтронов. Такой вывод противоречит результату работы /3/и совпадает с результатами расот /2,4/, в которых это показано для частного случая стержней в виде бесконечных плоскостей.

Ш. Учет слабого поглощения

$$\Phi(\bar{\tau}_o) = \begin{cases} \frac{\sum_{s}(\bar{\tau})\Phi(\bar{\tau})e^{-\int_{\bar{\tau}_o}\sum_{s}(\bar{\tau}')d\tau'}d\bar{\tau}}{4s|\sum_{s}-\bar{\tau}_o|^2}. \end{cases}$$
 (22)

Среды теперь характеризуются сечениями \sum_1 , \sum_{Q1} и \sum_2 \sum_{Q2} соответственно. \sum_{Q1} и \sum_{Q2} — сечения поглощения, $\sum_{Q1} = \sum_1 - \sum_{Q1}$ и $\sum_2 = \sum_2 - \sum_{Q2}$, соответствующие сечения рассеяния. Симметрия среды, очевидно, не меняется, т.е. для всех сечений справедливы утверждения

Рассмотрим случай, когда источник расположен в плоскости $\mathcal{Z}=-\text{const}$, причем $\text{const}\gg\lambda_{\text{ср}}$. Решение уже не будет линейной функцией от \mathcal{Z} , и появится периодическая зависимость от переменных \mathcal{X} и \mathcal{Y} . Считаем поглощение слабым $\mathbf{\Xi}_{\text{оср}},\lambda_{\text{ср}}\ll 1$. Тогда $\Phi(\overline{\tau})$ будет мало меняющейся функцией \mathcal{Z} на расстояниях порядка $\lambda_{\text{ср}}$. Ищем решение в виде $\Phi(\overline{\tau})=\Psi(\mathcal{Z})+\Delta\Phi(\mathcal{X},\mathcal{Y},\mathcal{Z})$. Разлагая $\Psi(\mathcal{Z})$ в ряд Тейлора около точки \mathcal{Z}_o и ограничиваясь тремя первыми членами разложения, получим из уравнения (22):

$$\Delta^{\Phi}(x_{o},y_{o},x_{o}) = \begin{cases} \frac{\sum_{s}(\vec{\tau})\Delta\Phi(x,y,x)e^{-\int_{\vec{\tau}_{o}}^{\vec{\tau}_{o}}\sum(\tau')d\tau'} d\tau'}{45\vec{\tau}|\vec{\tau}_{o}|^{2}} \end{cases}$$

$$+\left(\frac{d^{2}\psi}{d\mathcal{Z}^{2}}\right)_{o}\left(\frac{\sum_{\delta}(\bar{\tau})(\mathcal{Z}-\mathcal{Z}_{o})^{2}e^{-\int_{\bar{\tau}_{o}}^{\bar{\tau}}\sum_{\delta}(\tau')d\tau'}}{2\cdot4\Im|\bar{\tau}-\bar{\tau}_{o}|^{2}}-\psi_{o}\right)\frac{\sum_{o}(\bar{\tau})e^{-\int_{\bar{\tau}_{o}}^{\bar{\tau}}\sum_{\delta}(\tau')d\tau'}}{4\Im|\bar{\tau}-\bar{\tau}_{o}|^{2}}.$$
 (23)

Это уравнение определяет функцию $\Delta \Phi(x,y,z)$. Видим, что она зависит не только от параметров решетки, но и от хода усредненного потока (Ψ_o и $\left(\frac{d^2\psi}{dz^2}\right)_o$). Из уравнения (23) видим, что $\Delta \Phi(x,y,z)$ можно записать в виде

$$\Delta \Phi(x,y,z) = \Psi(z) \cdot \psi\left[x, y, \left(\frac{c_1^{2}\psi}{dz^2}\right) / \psi_o\right].$$

Ток нейтронов через поперечное сечение ячейки равен:
$$I = \int_{\mathcal{S}_{\text{av}}} d\mathcal{S} \int \frac{\sum_{3} (\overline{\tau}) \varphi(\overline{\tau}) \cos \theta}{4 \, \Im ||\overline{\tau} - \overline{\tau}_{o}||^{2}} \cong$$

$$\cong \left(\frac{d\Psi}{d\mathcal{Z}}\right)_{0}^{2} S_{34} \int_{S_{34}} \frac{dS}{S_{34}} \int_{S_{34}} \frac{\cos^{2}\theta \Sigma_{3}(\bar{\tau}) \, \tau \left[1 + \psi\right] e^{-\int \Sigma(\tau') d\tau'} d\bar{\tau}}{49\bar{\tau} |\bar{\tau} - \bar{\tau}_{o}|^{2}} = \left(\frac{d\Psi}{d\mathcal{Z}}\right)_{0}^{2} S_{34} \, D\left[\left(\frac{d^{2}\Psi}{d\mathcal{Z}^{2}}\right) / \psi_{o}\right].$$
(24)

Уравнение баланса нейтронов для элемента объема высотой d zи с основанием S_{34} напишется в виде:

$$\mathbb{D}\left[\frac{d^2\psi}{dz^2}/\psi\right] \frac{d^2\psi}{dz^2} - \mathbb{Z}_{\alpha}\left[\frac{d^2\psi}{dz^2}/\psi\right] \Psi = 0. \tag{25}$$

Здесь

$$\sum_{\alpha} \left(\frac{d^2 \psi}{d \alpha^2} / \psi \right) = \int_{S_{34}} \sum_{\alpha} \left(\overline{\tau} \right) \left[1 + \left[\left(x, y, \frac{d^2 \psi}{d \alpha^2} / \psi \right) \right] \frac{d S}{S_{34}} \right]$$
 (26)

Из уравнения (25) можно определить величину $L_{\parallel}^{2} = \frac{\Psi}{\frac{d^{2}\Psi}{d\Xi^{2}}}$ играющую роль квадрата эффективной длины диффузии. При выполнении условий

$$\int_{S_{a4}} \Sigma_{a}(\bar{\tau}) \mathcal{V}\left(x,y,\frac{d^{2}\psi}{dx^{2}}/\psi\right) \frac{dS}{S_{a4}} \ll \int_{S_{a4}} \Sigma_{a}(\bar{\tau}) \frac{dS}{S_{a4}} \tag{27}$$

величины D и Σ_{α} становятся независимыми от хода усредненного потока, уравнение (25) становится простым уравнением диффузии, где $D_{2} = \int_{S_{A4}} \frac{dS}{S_{A4}} \left(\sum_{3} (\overline{\tau}) \cos^{2}\theta \tau e^{-\int \Sigma^{2}(\overline{\tau}') d\tau'} d\overline{\tau} \right)$ и

$$\sum_{\alpha} = \int_{S_{ay}} \sum_{\alpha} (\bar{\gamma}) \frac{dS}{S_{ay}}$$
 (28)

играют роль эффективного коэффициента диффузии и сечения поглощения, соответственно.

Квадрат длины диффузии равен $L_{u}^{z} = \frac{D}{\sum_{a}}$.

Рассмотрим теперь диффузию нейтронов в направлении, перпендикулярном оси симметрии, т.е. источник нейтронов расположим в
плоскости $\infty = -\cos t$.

В этом случае ищем решение в виде $\Phi(\bar{\tau}) = \Psi(\infty) + \Delta \Phi(\infty,y)$. Снова ограничиваясь первыми тремя членами разложения функции $\Psi(\infty)$ в ряд Тейлора вблизи точки ∞_{\circ} , получим из уравнения (22)

уравнение, определяющее функцию
$$\Delta \Phi(x,y)$$
:
$$\Delta \Phi(x_o,y_o) = \int \frac{\sum_{3} \langle \overline{\tau} \rangle \Delta \Phi(x,y) e^{-\int \Sigma \langle \overline{\tau}' \rangle d\tau'} d\overline{\tau}}{4\Im |\overline{\tau} - \overline{\tau}_o|^2} + \left(\frac{d\psi}{dx}\right) \int \frac{(x-x_o) \sum_{3} \langle \overline{\tau} \rangle e^{-\int \Sigma \langle \overline{\tau}' \rangle d\tau'} d\overline{\tau}}{4\Im |\overline{\tau} - \overline{\tau}_o|^2} + \frac{d\psi}{dx} \int \frac{(x-x_o) \sum_{3} \langle \overline{\tau} \rangle e^{-\int \Sigma \langle \overline{\tau}' \rangle d\tau'}}{4\Im |\overline{\tau} - \overline{\tau}_o|^2} + \frac{d\psi}{dx} \int \frac{(x-x_o) \sum_{3} \langle \overline{\tau} \rangle e^{-\int \Sigma \langle \overline{\tau}' \rangle d\tau'}}{4\Im |\overline{\tau} - \overline{\tau}_o|^2} + \frac{d\psi}{dx} \int \frac{d\psi}{dx} \int \frac{(x-x_o) \sum_{3} \langle \overline{\tau} \rangle e^{-\int \Sigma \langle \overline{\tau}' \rangle d\tau'}}{4\Im |\overline{\tau} - \overline{\tau}_o|^2} + \frac{d\psi}{dx} \int \frac{d\psi$$

$$+\left(\frac{|\mathbf{q}|^{2}\Psi'}{|\mathbf{q}|^{2}}\right)_{0}\cdot\left(\frac{\sum_{\mathbf{q}}\langle\overline{\mathbf{r}}\rangle(\mathbf{x}-\mathbf{x}_{o})^{2}e^{-\left(\sum(\overline{\mathbf{r}}')\mathbf{d}\mathbf{x}'\right)}}{2\cdot49\overline{\mathbf{r}}|\overline{\mathbf{r}}-\overline{\mathbf{r}}_{o}|^{2}}-\Psi_{o}\right)\frac{\sum_{\mathbf{q}}\langle\overline{\mathbf{r}}\rangle e^{-\left(\sum(\overline{\mathbf{r}}')\mathbf{d}\mathbf{r}'\right)}}{49\overline{\mathbf{r}}|\overline{\mathbf{r}}-\overline{\mathbf{r}}_{o}|^{2}}.$$
(29)

Функций
$$\Delta \Phi(x,y)$$
 представим в виде сумми трех функций $\Delta \Phi(x,y) = \Delta \Phi_1 + \Delta \Phi_2 + \Delta \Phi_3$, определяемых уравнениями:
$$\Delta \Phi(x,y) = \left(\frac{\sum (\bar{\tau}) \Delta \Phi_1(\bar{\tau}) e^{-\int \sum (\bar{\tau}') d\tau'} d\tau}{4 \pi |\bar{\tau} - \bar{\tau}_o|^2} + \left(\frac{d\psi}{dx}\right)_o \left(\frac{\sum (\bar{\tau}) (x - x_o) e^{-\int \sum (\bar{\tau}') d\tau'} d\tau}{4 \pi |\bar{\tau} - \bar{\tau}_o|^2}\right), \qquad (30)$$

$$\Delta \Phi_2(x_o,y_o) = \left(\frac{\sum_s (\bar{\tau}) \Delta \Phi_2 e^{-\int \sum (\bar{\tau}') d\tau'} d\tau}{4 \pi |\bar{\tau} - \bar{\tau}_o|^2} + \left(\frac{d^2 \psi}{dx^2}\right)_o \left(\frac{\sum_s (\bar{\tau}) (x - x_o)^2 e^{-\int \sum (\bar{\tau}') d\tau'} d\tau}{2 \cdot 4 \pi |\bar{\tau} - \bar{\tau}_o|^2} - \frac{1}{2} \left(\frac{1}{2} + \frac{1}{2} +$$

$$\Delta \varphi_{3}(x_{0}, y_{0}) = \int \frac{\sum_{S}(\bar{\tau}) \Delta \varphi_{3} e^{-\int \sum_{S}(\bar{\tau}') d\tau'} \frac{d\bar{\tau}}{d\bar{\tau}}}{\sqrt{|\bar{\eta}|} |\bar{\tau} - \bar{\tau}_{0}|^{2}} - \int \frac{\sum_{a}(\bar{\tau}) \Delta \varphi_{4} e^{-\int \sum_{S}(\bar{\tau}') d\tau'} \frac{d\bar{\tau}}{d\bar{\tau}}}{\sqrt{|\bar{\eta}|} |\bar{\tau} - \bar{\tau}_{0}|^{2}} - \left(\frac{d\psi}{dx}\right)_{0} \int \frac{\sum_{a}(\bar{\tau}_{1})(x - x_{0}) e^{-\int \sum_{S}(\bar{\tau}') d\tau'} \frac{d\bar{\tau}}{d\bar{\tau}}}{\sqrt{|\bar{\eta}|} |\bar{\tau} - \bar{\tau}_{0}|^{2}}.$$

Из вида этих уравнений замечаем, что $\Delta \curvearrowright_{\mathfrak{q}} (\mathfrak{X}, \mathfrak{q})$ и нечетные функции lpha относительно центра $\Delta \Phi_{3}(x,y)$ ячейки, а $\Delta \Phi_2(x,y)$ четная функция x относительно центра. Кроме того, видим, что функция $\Delta \Phi_{\mathbf{1}}(x,y)$ совпадает с функцией, определяемой уравнением (5) в случае среды без поглощения, а функция $\Delta \Phi_z(x,y)$ аналогична функции $\Delta \Phi(x,y)$, определяемой уравнением (23) для диффузии нейтронов в направлении, параллельном оси симметрии. Из уравнений (30) видим также, что функции

ном оси симметрии. Из уравнений (30) видим также, что функ
$$\Delta \Phi_1$$
, $\Delta \Phi_2$, $\Delta \Phi_3$ можно записать в виде:
$$\Delta \Phi_1 = \frac{d\psi}{dx} \psi(x,y), \Delta \Phi_2(x,y) = \Psi \psi(x,y), \frac{d^2\psi}{dx^2}/\gamma, \Delta \Phi_3 = \frac{d\psi}{dx} \psi(x,y).$$

Ток нейтронов через элементарную площадку $\,\mathrm{d}\, {\mathcal S}'\,\,$ с нормалью,

параллельной оси х, запишется в виде:
$$IdS = \int \frac{\sum_{s} (\bar{\tau}) \phi(\bar{\tau}) \sin \theta \cos \psi}{\iota_{1} \Im_{1} |\bar{\tau} - \bar{\tau}_{o}|^{2}} dS \cong$$

$$= \int \frac{\sum_{s}(\bar{\tau}) \Psi(\bar{\tau}) (1+f) \sin \theta \cos \psi e^{-\int \sum_{s}(\bar{\tau}') d\tau'} d\bar{\tau}}{4 \pi |\bar{\tau} - \bar{\tau}_{o}|^{2}} d\beta +$$

$$+\left(\frac{d\Psi}{dx}\right)_{0}\left(\frac{\sum_{S}(\bar{\tau})\sin^{2}\theta\cos^{2}\psi\cdot\tau\left[1+\hat{r}+\frac{\psi\cdot\phi}{x}\right]e^{-\int\sum(\bar{\tau}')d\tau'}}{4\pi|\bar{\tau}-\bar{\tau}_{0}|^{2}}dS.\right)$$

Полагая, что выполняется не только условие $\frac{\psi}{dx} \gg \frac{1}{\sum_{cp}}$, нс и условие $\frac{d\psi}{dx} \gg \Omega_{\infty}$, где Ω_{∞} - параметр решетки, усредним ток через площадку $d\beta$ по поперечному сечению ячейки.

Тогда получим:

$$I = \frac{d\psi}{dx} \int_{S_{34}} \frac{dS}{S_{34}} \cdot \int \frac{\sum_{S}(\overline{r}) \sin^{2}\theta \cos^{2}\psi \, r \left[1 + \frac{1}{v} + \frac{\varphi + \varphi}{x}\right] e^{-\int \sum_{S}(\overline{r}') dr'} \, d\overline{r}}{49\overline{r} |\overline{r} - \overline{r}_{o}|^{2}} = \frac{d\psi}{dx} \, D\left(\frac{d^{2}\psi}{dx^{2}} / \psi\right).$$
(31)

Уравнение баланса нейтронов для элемента объема с поперечным сечением ячейки в качестве основания и высотой $\mathrm{d}\mathfrak{F}$ будет иметь вид:

$$D\left(\frac{d^{2}\psi}{dx^{2}}/\psi\right)\frac{d^{2}\psi}{dx^{2}}-\sum_{\alpha}\left(\frac{d^{2}\psi}{dx^{2}}/\psi\right)\Psi=0. \tag{32}$$

Здесь

Уравнение определяет величину $\psi / \frac{d^2 \psi}{d x^2} = L_{\perp}^2$ — квадрата эффективной длины диффузии в направлении оси х.

При выполнении условий, аналогичных условиям (27) уравнениє (32) превращается в обычное уравнение диффузии. Эффективный коэффициент диффузии будет иметь вид:

$$\mathbb{D}_{x} = \int_{S_{a4}} \frac{dS}{S_{a4}} \int \frac{\sum_{s} (\overline{\tau}) \sin^{2}\theta \cos^{2}\theta r \left[1 + \frac{\varphi + \varphi}{x}\right] e^{-\int \sum_{s} (\overline{\tau}') d\tau'} }{4\Im |\overline{\tau} - \overline{\tau}_{o}|^{2}}$$
(33)

и эффективное сечение поглощения такое же, как (28) Квадрат длины диффузии $L_{\perp}^{2} = \frac{D_{\infty}}{\sum L_{\alpha}}$.

 Вычисление коэффициентов диффузии в гетерогенной среде с учетом слабого поглощения

При выполнении условий (27) коэффициент диффузии для направления, параллельного оси симметрии, определяется формулой (28). Проводя вычисления аналогично вычислениям предыдущего параграфа, получим для случая, когда выполняется

$$\mathcal{D}_{\parallel} = \frac{\sum_{31}^{51} + p \frac{\sum_{32}^{52}}{\sum_{2}^{2}} + \sum_{31}^{51} + \sum_{31}^{51} + \sum_{31}^{51} + \sum_{32}^{52} + \sum_{32}^{52} + \sum_{32}^{52} - \frac{2\sum_{31}^{51}}{\sum_{1}^{3}} - \frac{2\sum_{32}^{52}}{\sum_{2}^{52}} \frac{\bar{G}}{\bar{S}_{34}} \left[1 - F(\sum_{2} R) \right] + \left[\frac{\sum_{32}^{52} + \sum_{12}^{52} + \sum_{12}^{52}}{\sum_{12}^{2}} + \frac{\sum_{32}^{52}}{\sum_{12}^{52}} - \frac{\sum_{32}^{52}}{\sum_{12}^{52}} \right] F_{\parallel}'(\sum_{2} R).$$

Здесь

$$F_{\parallel}(\Sigma_{2}R) = \frac{1}{S_{a4}} \int_{\Omega} \frac{d\Omega}{4S_{1}} \cos^{2}\theta \int_{0}^{\infty} \psi(x,\theta,\phi) e^{-\sum_{2} \infty} dx .$$

В случае плоских стержней

$$F_{\parallel}(\sum_{2}h_{2}) = \frac{1}{4} \left[\left(\sum_{2}h_{2}\right)^{3} E_{4}(-\sum_{2}h_{2}) - \sum_{2}h_{2} E_{2}(-\sum_{2}h_{2}) \right]. \tag{35}$$

Для круглых цилиндрических стержней

$$\Gamma_{\parallel}(\Sigma_{2}R) = \frac{4}{51} \int_{1}^{\infty} dv \int_{0}^{1} du \frac{u^{2} \sqrt{v^{2} - 1} e^{-2\Sigma_{2}Ruv}}{\sqrt{1 - u^{2}} v^{4}}.$$
 (36)

Для направления, перпендикулярного оси симметрии легко можно получить ту часть коэффициента диффузии, которая не сгязана с микроструктурой потока.

Для случая, когда выполнено условие $\frac{c}{\sum_{i,j}} \ll 1$, будем

$$\prod_{1}^{\text{IMETb}:} \frac{\left(\frac{\sum_{31}^{2}+p}{\sum_{1}^{2}}\right)}{3(1+p)} + \left[\frac{\sum_{31}}{\sum_{2}\sum_{1}^{2}} + \frac{\sum_{31}}{\sum_{1}\sum_{2}^{2}} + \frac{\sum_{32}}{\sum_{1}\sum_{1}^{2}} + \frac{\sum_{32}}{\sum_{1}\sum_{2}^{2}} - \frac{2\sum_{31}}{\sum_{1}} - \frac{2\sum_{31}}{\sum_{1}^{3}} - \frac{2\sum_{31}}{\sum_{1}^{3}} \right] \frac{\overline{G}_{1}}{\overline{S}_{44}} \left[1 - F_{1}(\sum_{2}R)\right] + \left[\frac{\sum_{32}}{\sum_{2}^{2}} + \frac{\sum_{31}}{\sum_{1}^{2}} - \frac{\sum_{31}}{\sum_{1}\sum_{2}} - \frac{\sum_{31}}{\sum_{1}\sum_{2}}\right] F_{1}'(\sum_{2}R).$$
(37)

Здесь
$$F_{\perp}'(\Sigma_{2}R) = \frac{1}{S_{\alpha4}} \left(\frac{d\Omega}{451} \sin^{2}\theta \cos^{2}\phi \int_{0}^{\infty} \psi(x,\theta,\phi) x e^{-x\Sigma_{2}} dx \right).$$

Для плоских стержней

$$F_1'(t) = -\frac{1}{2} t^3 E_4(-t), \qquad t = \sum_2 h_2.$$
 (38)

Для круглых цилиндрических стержней

$$F_{\perp}'(t) = \frac{2}{91} \int_{0}^{\infty} dv \int_{0}^{1} du \frac{u^{2}e^{-2tuv}}{\sqrt{1-w^{2}} v^{4} \sqrt{v^{2}-1}}, \quad t = \sum_{2}^{\infty} R. \quad (39)$$

Можно показать, что квадрат длины диффузии нейтронов в направлении, параллельном оси симметрии, $L_{\parallel}^{\ 2} = \frac{D_{\parallel}^{\ 2}}{\sum_{\alpha}}$ и часть квадрата длины диффузии в направлении, перпендикулярном оси симметрии, определяемая как $L_{\perp}^{\ 2} = \frac{D_{\perp}^{\ 2}}{\sum_{\alpha}}$, равны $\frac{1}{6} R_{\chi}^{\ 2}$ и $\frac{1}{6} R_{\chi}^{\ 2}$, соответственно, где $R_{\chi}^{\ 2}$ и $R_{\chi}^{\ 2}$ — проекции среднего квадрата расстояния, проходимого нейтронами до поглощения. Таким образом, отождествление квадрата длины диффузии нейтронов с $\frac{1}{6}$ среднего квадрата расстояния до поглощения для среды с каналами, которое делается в работе (I), справедливо лишь для диффузии нейтронов в направлении, параллельном оси симметрии, но не для перпендикулярных направлений.

V. Уравнение для распределения тепловых нейтронов в мультиплицирующей гетерогенной среде

Уравнение для распределения тепловых нейтронов в реакторе можно написать следующим образом:

$$\Phi(\bar{\tau}_{o}) = \left(\frac{\sum_{s}(\bar{\tau}) \Phi(\bar{\tau}) e^{-\int \Sigma(\bar{\tau}') d\tau'}}{4 \Im |\bar{\tau} - \bar{\tau}_{o}|^{2}} + \int \frac{\sum_{u \in \tau}(\bar{\tau}) \Phi'(\bar{\tau}) e^{-\int \Sigma'(\bar{\tau}') d\tau'}}{4 \Im |\bar{\tau} - \bar{\tau}_{o}|^{2}} + (40)\right)$$

Здесь $\phi'(\bar{\tau})$ - поток надтепловых нейтронов, $\sum_{ucr}(\bar{\tau})$ - эффективное сечение возникновения тепловых нейтронов.

Решение для потока тепловых нейтронов ищем в виде суммы $\varphi=\Psi+\Delta \varphi$, где Ψ описывает изменение усредненного потока по реактору, а $\Delta \varphi$ — микроструктуру потока по ячейке. Для больших реакторов усредненный поток $\Psi(\bar{\tau})$ будет мало

Разлагая $\Psi(\bar{\tau})$ и $\Phi'(\bar{\tau})$ в ряд Тейлора вблизи точки $\bar{\tau}_o$ и подставляя это разложение в уравнение (40), получим, ограничиваясь членами разложений первого порядка малости:

ваясь членами разложений первого порядка, малости:
$$\Delta \Phi(x_0,y_0) = \int \frac{\sum_{s}(\bar{\tau})\Delta \Phi}{4\pi|\bar{\tau}-\bar{\tau}_0|^2} + \Phi' \int \frac{\sum_{ucr}(\bar{\tau})e^{-\int \Sigma(\bar{\tau}')d\tau'}}{4\pi|\bar{\tau}-\bar{\tau}_0|^2} - \frac{\sum_{s}(\bar{\tau}')\Delta \tau'}{4\pi|\bar{\tau}-\bar{\tau}_0|^2} + \frac{\sum_{s}(\bar{\tau})x_{-}x_{o}e^{-\int \Sigma(\bar{\tau}')d\tau'}}{2\pi|\bar{\tau}-\bar{\tau}_0|^2} - \frac{\sum_{s}(\bar{\tau}')\Delta \tau'}{4\pi|\bar{\tau}-\bar{\tau}_0|^2} + \frac{\sum_{s}(\bar{\tau})x_{-}x_{o}e^{-\int \Sigma(\bar{\tau}')d\tau'}}{2\pi|\bar{\tau}-\bar{\tau}_0|^2} + \frac{\sum_{s}(\bar{\tau})(y_{-}y_{o})e^{-\int \Sigma(\bar{\tau}')d\tau'}}{2\pi|\bar{\tau}-\bar{\tau}_0|^2} + \frac{\sum_{s}(\bar{\tau})(y_{-}y_{o})e^{-\int \Sigma(\bar{\tau}')d\tau'}}{2\pi|\bar{\tau}-\bar{\tau}_0|^2} + \frac{\sum_{s}(\bar{\tau})(y_{-}y_{o})e^{-\int \Sigma(\bar{\tau}')d\tau'}}{2\pi|\bar{\tau}-\bar{\tau}_0|^2} + \frac{\Delta \Phi'}{\Delta y}_{o} + \frac{\Delta$$

Это уравнение определяет функцию $\Delta \Phi(x,y)$ Представим эту функцию в виде сумми трех функций, определяемых следующими уравнениями:

Из вида уравнений легко показать, что $\Delta \varphi_1^{\infty}$ — нечетная функция координаты $\mathfrak X$ относительно центра ячейки и четная по $\mathfrak Y$, а $\Delta \varphi_1^{\mathfrak Y}$ — нечетная по $\mathfrak Y$ и четная по $\mathfrak X$. $\Delta \varphi_2$ — четная функция относительно центра ячейки и по $\mathfrak X$ и по $\mathfrak Y$. Кроме того, видим, что эти функции можно представить следующим образом:

$$\Delta \Phi_{1}^{x} = \frac{d\Psi}{dx} \xi \left(x, y, \frac{d\Phi'}{dx} \middle/ \frac{d\Psi}{dx}\right), \Delta \Phi_{1}^{y} = \frac{d\Psi}{dy} \xi \left(y, x, \frac{d\Phi'}{dy} \middle/ \frac{d\Psi}{dy}\right), \Delta \Phi_{z} = \Psi \cdot \mathcal{V}(x, y, \frac{\Phi'}{\Psi})$$
(43)

921-103

Напишем выражения для усредненных по поперечному сечению ячейки токов нейтронов через элементарные площадки, ориентированные параллельно и перпендикулярно оси симметрии.

ные параллельно и перпендикулярно оси симметрии.
$$I_{\mathcal{Z}} = \int_{S_{a4}} \frac{dS}{S_{a4}} \left(\frac{\sum_{s} \langle \overline{\tau} \rangle \Phi(\overline{\tau}) \cos \theta}{4 \Im |\overline{\tau} - \overline{\tau}_{o}|^{2}} \right)^{2} \cong \int_{S_{a4}} \frac{dS}{S_{a4}} \left(\frac{\sum_{s} \langle \overline{\tau} \rangle r \cos^{2} \theta(1 + \overline{\psi}) e}{4 \Im |\overline{\tau} - \overline{\tau}_{o}|^{2}} \right)^{2} \frac{dV}{dz} = 0$$

$$= D_{\mathcal{Z}} \cdot \frac{d\psi}{d\mathcal{Z}}, \qquad I_{\mathcal{Z}} = \int_{\mathcal{S}_{\mathcal{A}_{Y}}} \frac{d\mathcal{S}}{\mathcal{S}_{\mathcal{A}_{Y}}} \int_{\mathcal{S}_{\mathcal{A}_{Y}}} \frac{\sum_{s} \langle \overline{\tau} \rangle \varphi(\overline{\tau}) \sin\theta \omega s \psi e^{-\int \Sigma(\overline{\tau}') d\tau'} \frac{d\tau}{d\tau}}{4 \overline{\pi} |\overline{\tau} - \overline{\tau}_{s}|^{2}} \cong$$

$$\cong \int_{\mathcal{B}_{34}} \frac{d\beta}{\beta_{34}} \left\{ \frac{\sum_{s}(\bar{\tau})\tau \cdot \sin^{2}\theta \cos^{2}\phi \left(1 + \hat{t} + \frac{\dot{\xi}}{x}\right) e^{-\int \Sigma(\bar{\tau}') d\tau'} d\tau}{4 \, \bar{v}_{1} \, |\bar{\tau} - \bar{\tau}_{o}|^{2}} \frac{d\psi}{dx} = \underline{\mathbb{D}}_{x} \frac{d\psi}{dx} \right\} \tag{44}$$

Теперь, если мы рассмотрим элемент объема высотой dz и с основанием, равным S_{34} , то уравнение баланса нейтронов для него будет иметь вид:

$$\int_{\mathcal{Z}} \frac{d^2 \psi}{d \mathcal{Z}^2} + \int_{\mathcal{X}} \frac{d^2 \psi}{d \mathcal{X}^2} + \int_{\mathcal{Y}} \frac{d^2 \psi}{d \mathcal{Y}^2} - \sum_{\alpha} \psi + \sum_{\alpha \in T} \phi' = 0.$$
(45)

Здесь мы использовали условие слабого изменения функции Ψ на расстояниях порядка постоянной решетки.

$$\sum_{\alpha} = \int_{S_{34}} \frac{dS}{S_{34}} \sum_{\alpha} (\overline{r}) \left[1 + \beta(x, y, \frac{\phi'}{\psi}) \right].$$

Видим, что, если можно считать отношения ψ , $\frac{d\psi}{dx}$ / $\frac{d\psi}{dx}$ и $\frac{d\psi}{dy}$ / $\frac{d\psi}{dy}$ постоянными по объему реактора, то величины D_i и \sum_{α} становятся постоянными и уравнение (45) совпадает с уравнением для анизотропного гомогенного реактора с соответствующими характеристиками.

Влияние неравномерности хода потока по Ячейке за счет того факта, что поглощение и рождение тепловых нейтронов происходит в разных местах, на величины эффективных коэффициентов диффузии нейтронов может быть грубо оценено, если принять ступенчатый ход потока по ячейке. (Например, принять, что функция $f(x,y,\frac{1}{\psi})=0$ повсюду в замедлителе и равна $f(x,y,\frac{1}{\psi})=0$ в стержне). Тогда для вычисления эффективных коэффициентов диффузии можно воспользоваться формулами 34-39, заменяя в них $\sum_{52} 4+f_1$

Заключение

В работе рассмотрено распространение нейтронов одной энергии в гетерогенной среде с цилиндрическими стержнями. Вначале принималось, что поглощение повсюду отсутствует. При этом для направления параллельного цилиндрам, получена формула для коэффициента диффузии в случае цилиндров произвольного сечения и вычислены коэффициенты диффузии для плоских стержней и круглых цилиндров (формулы 12-15).

Для перпендикулярного направления показано, что коэффициент диффузии зависит также от распределения потока нейтронов по ячейке и в общем случае отличается от коэффициента диффузии в направлении, параллельном цилиндрам. Лишь в предельном случае тонких, тесно расположенных стержней анизотропия среды по отношению к распространению нейтронов исчезает и коэффициент диффузии для соответствующей гомогенной смеси. Для стержней в виде плоских слоев показано, что коэффициент диффузии для перпендикулярного направления равен коэффициенту диффузии для гомогенной смеси при любой толщине слоев. Для круглых цилиндрических стержней вычислена часть коэффициента диффузии в перпендикулярном направлении, не связанная с распределением нейтронов по ячейке (формула 21).

Показано, что формулы (34-39) могут быть использованы при расчете гетерогенных реакторов достаточно больших размеров.

Литература

- I. Behrens D.I. The Effect of Holes in a Reacting Material on the Passage of Neutrons" Proceeding of Phys. Soc., 1949, 62, (S.A.) 607
- 2. Шевелев Я.В. "Диффузия нейтронов в плоской уран-водной решетке". Атомная энергия, 1957, <u>П</u>, 224

921-10.

- 3. Spinrad B.I. "Anisotropic Diffusion Lenghts in Diffusion Theory", Journal of Applied Physics, 1955, 26, 548
- 4. Трлифай Л. "Вариационный метод гомогенизации гетерогенной среды". Атомная энергия 1957, II, 231